

UNIVERSITÀ
DEGLI STUDI
DI PADOVA



UNIVERSITÀ DEGLI STUDI DI PADOVA

DIPARTIMENTO DI INGEGNERIA
DELL'INFORMAZIONE
CORSO DI LAUREA IN INGEGNERIA INFORMATICA

STRONG BRANCHING ON CLIQUE CONSTRAINTS

Laureando:
Andrea COSTALONGA

Relatore:
Prof. Domenico
SALVAGNIN

Anno accademico 2019/2020

Indice

Sommario	i
1 Introduzione	1
1.1 MIP	1
1.2 Rilassamento lineare	2
1.3 L'algoritmo branch-&-bound	2
1.4 Branch-&-Cut	4
1.5 Strong Branching	4
1.6 Clique Constraints	5
2 Strong Branching on Clique Constraint	7
2.1 L'idea	7
2.2 La raccolta dati	8
2.2.1 MIPLIB2003	10
2.3 Software utilizzati	10
3 Risultati	13
3.1 Considerazioni sui dati ottenuti	13
3.2 Mod011.mps	16
4 Conclusioni	17
Bibliografia/Sitografia	19

Elenco delle figure

1.1	Piani di taglio.	4
1.2	Rappresentazione grafica di una clique.	5
2.1	Esempio file di output.	10
3.1	Ratio chart	14
3.2	Cliques bar chart	15
3.3	Mod011 chart	16

Sommario

La tesi si è sviluppata attorno all'idea di una raccolta dati dalla libreria di problemi MIPLIB2003 concentrandosi principalmente su problemi MIP in cui sono presenti vincoli di clique. Il diverso peso dell'attribuzione dei valori 0 e 1 nelle variabili dei vincoli di questa tipologia suggerisce la possibilità che una strategia di branching basata su questi vincoli possa dare buoni risultati. L'aggregazione dei dati ottenuti e le considerazioni ottenute da un'analisi qualitativa e quantitativa dei risultati portano a concludere che una strategia di questo tipo potrebbe avere del potenziale.

Capitolo 1

Introduzione

La performance di un algoritmo branch-&-bound nella programmazione lineare intera-mista (MIP) dipende molto dalla qualità del lower bound ottenuto nella ricerca. Un modo per migliorare questo bound è quello di introdurre dei tagli nel rilassamento lineare che limitino lo spazio delle soluzioni tenendo traccia dei vincoli di interezza del problema di partenza e che riducano il gap tra lower bound e incumbent (per dimostrare che la soluzione sia ottima). Questa implementazione con l'aggiunta di tagli si distingue dall'algoritmo B&B e assume il nome di branch-&-cut. Un ulteriore modo per aumentare le prestazioni di questi algoritmi è quello di applicare delle strategie di branching: implementare strategie efficaci è fondamentale per ridurre il numero di nodi nell'albero di sottoproblemi che viene creato dagli algoritmi B&C e B&B e di conseguenza aumentare le prestazioni. In questa tesi si è cercato di considerare dei vincoli particolari, detti vincoli di clique, che data la loro particolare struttura permettono di migliorare il dual bound e contemporaneamente escludere soluzioni non intere. Lo scopo è quello di valutare, come nello Strong Branching (SB), quale vincolo porti un miglioramento/separazione più forte tramite una fase di scoring precedente al branching. La strategia ipotizzata è stata chiamata Strong Branching on Clique Constraints (abbreviata SBCC).

1.1 MIP

Nella raccolta dati creata sono stati presi in considerazione dei problemi MIP raccolti nella libreria di problemi MIPLIB2003; questa classe di problemi di programmazione lineare sono caratterizzati, oltre alla presenza di una funzione lineare da minimizzare e di vincoli lineari, dalla presenza di vincoli di interezza su un sottoinsieme delle variabili. Possiamo descrivere un problema

MIP in forma compatta nella seguente formulazione:

$$\left\{ \begin{array}{l} \min c * x \\ a_i * x \sim b_i \quad i = 1, \dots, m \\ l_j \leq x_j \leq u_j \quad j = 1, \dots, n = N \\ x_j \in Z \quad \forall j \in J \subset N = 1, \dots, n \end{array} \right. \quad (1.1)$$

Si può notare che, conseguentemente all’inserimento dei vincoli di interezza delle variabili, il rilassamento lineare non risolve direttamente il problema; il rilassamento ottenuto potrebbe contenere variabili con valore frazionario quando nel problema di partenza le stesse variabili appartenevano al dominio degli interi. Per la risoluzione di questo tipo di problemi viene generalmente impiegato un algoritmo chiamato “branch-&-cut”, una versione migliorata dell’algoritmo branch-&-bound.

1.2 Rilassamento lineare

Il rilassamento lineare di un problema di programmazione intera mista P è un ulteriore problema di programmazione lineare P^* in cui tutti i vincoli d’interezza vengono rilassati/eliminati. Il problema ottenuto guadagna gradi di libertà e risulta più semplice e veloce da risolvere. Per risolvere il rilassamento lineare vengono utilizzati principalmente due algoritmi: l’algoritmo del simplesso e l’algoritmo Barrier. Il primo algoritmo attraversa i vertici del poliedro ottenuto dalle intersezioni dei vincoli contenuti nell’insieme S alla ricerca della soluzione ottima. Il risultato ottenuto non è detto che sia soluzione del problema di partenza (il nuovo problema non ha vincoli di interezza sulle variabili) ma il risultato ottenuto è il punto di partenza per la risoluzione del problema P . L’algoritmo Barrier cerca la soluzione ottima partendo da un punto all’interno del politopo delle soluzioni creando un percorso che congiunga i due punti con l’utilizzo di algoritmi predittivi/correttivi.

1.3 L’algoritmo branch-&-bound

L’algoritmo branch-&-bound (B&B) è uno strumento fondamentale per la risoluzione di problemi di programmazione intera-mista. Il primo passo del metodo consiste nel rilassamento lineare del problema P di partenza e nelle considerazioni successive: se la soluzione del rilassamento è impossibile allora anche il problema P è impossibile, se si è trovata una soluzione al rilassamento e questa è ammissibile per P allora la soluzione è ottima per P , se la soluzione

esiste ma non è intera allora il valore $f(\mathbf{x}^*)$ sarà un lower bound del problema di partenza. Nell'ultimo caso (il più frequente) la soluzione del rilassamento

$$\mathbf{x}^* = (x_1^*, \dots, x_n^*)$$

non rispetta alcuni vincoli di interezza delle variabili di P ed è quindi necessaria la fase di branching. In questa fase viene considerata una strategia di branching per dividere il problema P in sottoproblemi che vadano a risolvere le conflittualità dovute ai vincoli di interezza delle variabili del problema di partenza. Verrà poi eseguita nuovamente una fase di bound per ogni nuovo nodo e così via. L'albero che si delinea può essere ridotto con una fase di pruning facendo le seguenti considerazioni:

- Se il rilassamento del nodo è impossibile posso scartare il nodo poichè il problema rilassato ha più gradi di libertà del problema non rilassato e quindi se il problema rilassato è impossibile anche il problema non rilassato, che non è altro quindi che una restrizione del rilassamento, è impossibile;
- Se il rilassamento mi ritorna una soluzione ammissibile per P ossia

$$\mathbf{x}^* \in F(P)$$

allora:

- Se è la prima soluzione che trovo salvo il suo valore (incumbent);
- Se il valore che trovo è inferiore al valore dell'incumbent già trovato allora sostituisco l'incumbent con nuovo valore e salvo la soluzione;
- Se il valore è inferiore all'incumbent già presente non posso dedurre nulla, continuo l'esplorazione dell'albero;
- Se il rilassamento ritorna una soluzione non ammissibile per P ma il valore dell'incumbent è inferiore o uguale al valore del rilassamento in questo nodo allora posso scartare il nodo. Il nodo attuale infatti ha valore del rilassamento superiore a un candidato a essere soluzione ottima di P, quindi i nodi successivi non porterebbero alcun miglioramento alla f.o. essendo questi una restrizione del problema a questo nodo.

Quando ho finito di esplorare tutti i nodi il valore dell'incumbent (se presente) sarà la soluzione ottima.

1.4 Branch-&-Cut

Il procedimento è analogo all'algoritmo B&B con l'aggiunta di piani di taglio nella fase di bound. I piani di taglio sono delle disgiunzioni lineari che permettono di restringere lo spazio delle soluzioni togliendo dal pool alcune soluzioni non ammissibili per il problema di partenza. Graficamente, prendendo come riferimento un generico politopo, posso descrivere un piano di taglio come segue:

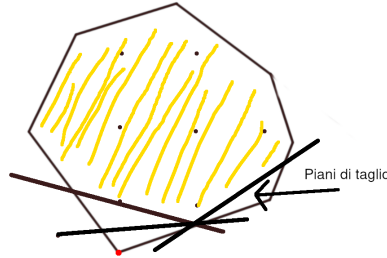


Figura 1.1: Piani di taglio.

Trovare dei piani di taglio efficaci riduce notevolmente il tempo di esecuzione e anche se non fosse possibile trovarne l'algoritmo continuerebbe in stile B&B.

1.5 Strong Branching

Una delle strategie di branching applicate negli algoritmi B&B e B&C è lo Strong Branching: questa strategia consiste nel prendere le variabili con vincoli di interezza non soddisfatti nel rilassamento del nodo attuale, risolvere per ogni variabile il rilassamento lineare ponendo prima come Upper Bound

$$UB = \lfloor x_j^* \rfloor$$

e poi come Lower Bound

$$LB = \lceil x_j^* \rceil$$

e vedere quale di queste variabili frazionarie fornisce una separazione più importante. Per definire la forza di una separazione tramite SB viene assegnato

a ogni variabile frazionaria uno score

$$score(x_i) = (R(x_i = \lceil x_i \rceil) - R_{\text{ref}}) * (R(x_i = \lfloor x_i \rfloor) - R_{\text{ref}})$$

in cui R_{ref} è il valore della soluzione del rilassamento lineare del problema di partenza e $R(x_i = \lceil x_i \rceil)$, $(R(x_i = \lfloor x_i \rfloor))$ sono i valori ottenuti risolvendo il rilassamento del problema di partenza fissando prima la variabile frazionaria con il suoi arrotondamenti in alto o in basso.

La separazione più forte, (ossia quella con score maggiore) sarà quella che verrà preferita nella creazione dei prossimi nodi.

1.6 Clique Constraints

I vincoli presi come candidati a essere un miglioramento dello Strong Branching sono i vincoli di clique. Posso esprimere un vincolo di clique come segue:

$$\sum_{i \in I} x_i \leq 1 \text{ oppure } \sum_{i \in I} x_i = 1$$

in cui I è un sottoinsieme dell'enumerazione delle variabili booleane del problema.

Questi vincoli possono essere rappresentati come una clique ossia un grafo non orientato $G = (E, V)$ in cui per ogni coppia di vertici $x, y \in V$ esiste un arco $e \in E$ che li congiunge. Si può notare che questo vincolo è molto sbilanciato

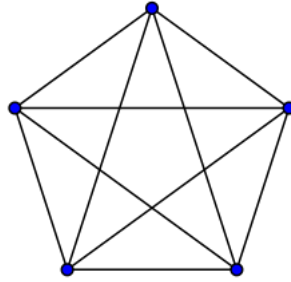


Figura 1.2: Rappresentazione grafica di una clique.

quando nel momento in cui bisogna decidere se impostare variabile a 0 o a 1: la scelta di mettere una variabile a 1 nel vincolo limita tutte le altre variabili (avranno valore 0) mentre se la stessa variabile viene assegnata a 0 le rimanenti variabili non sono univocamente definite. Su questa osservazione si basa la tesi.

Capitolo 2

Strong Branching on Clique Constraint

2.1 L'idea

I vincoli di clique, come visto nel capitolo precedente, hanno un marcato sbilanciamento quando si tratta di fissare una variabile; da questa considerazione è scaturita questa raccolta dati che si prefigge di raccogliere del materiale per una possibile futura implementazione di una strategia di branching basata sui vincoli di clique. La SBCC si propone di testare, come nel semplice Strong Branching, quale dei vincoli di clique del problema porta un abbassamento del gap tra il valore della funzione obiettivo e l'incumbent attuale. L'obiettivo è quello di dimostrare che la soluzione attuale sia ottima. L'approccio di utilizzare il miglior risultato conosciuto al momento è naturalmente un approccio euristico alla pari dello Strong Branching. La strategia va a creare molti più nodi per ogni separazione rispetto a SB ma si può presumere che molti di questi nodi non verranno mai esplorati e che saranno eliminati nella fase di pruning; oltre a ciò lo Strong Branching fissa solo una variabile per ogni iterazione mentre la nuova strategia andrebbe a fissare il valore a tutte le variabili del vincolo considerato.

Si può osservare inoltre che la strategia proposta non esclude alcuna soluzione ammissibile per il problema proprio per la struttura del vincolo di clique.

2.2 La raccolta dati

Per effettuare delle considerazioni sulla effettiva efficacia della strategia è stata effettuata una raccolta dati prendendo in esame i problemi di programmazione intera mista (MIP) presenti nella libreria MIPLIB2003. L'algoritmo, scritto in C++ sfruttando le API del risolutore commerciale CPLEX 12.10 di IBM, si è concentrato inizialmente in un esame preliminare del problema P in ingresso in cui viene verificata la presenza di vincoli di clique tra i vincoli di P. Successivamente sono stati eseguiti per ogni variabile binaria il rilassamento in alto ed in basso ($UB = 0$ e $LB = 1$) e sono stati salvati i valori della funzione obiettivo.

Sono state considerate solo le variabili binarie presenti nei vincoli di clique: un confronto globale su tutte le variabili intere sarebbe stato molto costoso computazionalmente e non avrebbe messo bene in luce la convenienza dell'utilizzare la SBCC rispetto al semplice SB nello stesso campione di variabili. Alla fine sono stati raggruppati i risultati per ogni vincolo di clique e salvati in un file di testo. La prima parte dell'algoritmo è stata fondamentale per scartare in partenza dei MIP senza questi vincoli e quindi evitare elaborazioni inutili.

Di seguito un resoconto sui problemi considerati:

Problema	Considerato	Scartato	Problema	Considerato	Scartato
10teams	X		momentum2	X	
alc1s1		X	momentum3		X*
afflow30a	X		msc98-ip	X	
afflow40b	X		mzzv11		X
air04	X		mzzv42z		X
air05	X		net12		X
arki001		X	noswot		X
atlanta-ip	X		nsand-ipx		X
cap6000	X		nw04	X	
dano3mip	X		opt1217	X	
disctom	X		p2756		X
ds		X*	pk1		X
fast0507		X	pp08a		X
fiber	X		pp08aCUTS		X
fixnet6		X	protfold	X	
gesa2		X	qiu		X
gesa2-o		X	rd-rplusc-21	X	
glass4	X		roll300		X
harp2	X		rout		X
liu		X	set1ch		X
manna81		X	seymour		X
markshare1		X	sp97ar		X
markshare2		X	stp3d	X	
mas74		X	swath	X	
mas76		X	t1717	X	
misc07	X		timtab1		X
mkc		X	timtab2		X
mod011	X		tr12-30		X
momentum1	X		vpm2		X

* L'elaborazione ha richiesto troppo tempo.

Oltre a verificare la presenza o meno di vincoli di clique in questa prima parte del programma vengono salvate le posizioni delle variabili binarie e dei vincoli di clique essendo dati necessari per la successiva elaborazione.

Nella seconda fase vengono risolti 2 rilassamenti per ogni variabile binaria (impostando prima la variabile a 0 e poi a 1). Per ogni vincolo di clique di

10 CAPITOLO 2. STRONG BRANCHING ON CLIQUE CONSTRAINT

disuguaglianza \leq inoltre viene calcolato il valore del rilassamento con tutte le variabili a 0.

I valori ottenuti dai rilassamenti saranno poi il punto cardine nell'analisi dell'efficacia o meno della strategia di branching ipotizzata.

```
1 MIP: mod011.mps
2 LP relaxation result: -6.2122e+07
3
4
5 clique constraint 1 -> c2: 0 <= x1 + x2 + x3 + x4 + x5 + x6 <= 1
6 Var      setTo0      setTo1
7 x1[0..1] -6.2122e+07 -6.06074e+07
8 x2[0..1] -6.2122e+07 -6.0983e+07
9 x3[0..1] -6.2122e+07 -6.11242e+07
10 x4[0..1] -6.2122e+07 -6.07092e+07
11 x5[0..1] -6.2122e+07 -6.08602e+07
12 x6[0..1] -6.19754e+07 -6.05872e+07
13 All Zeroes: -6.15268e+07
14
15 clique constraint 2 -> c3: 0 <= x7 + x8 + x9 + x10 + x11 + x12 <= 1
16 Var      setTo0      setTo1
17 x7[0..1] -6.2122e+07 -6.03878e+07
18 x8[0..1] -6.2122e+07 -6.08709e+07
19 x9[0..1] -6.2122e+07 -6.09566e+07
20 x10[0..1] -6.2122e+07 -6.07246e+07
21 x11[0..1] -6.2122e+07 -6.08716e+07
22 x12[0..1] -6.19083e+07 -6.07786e+07
23 All Zeroes: -6.11865e+07
24
25 clique constraint 3 -> c4: 0 <= x13 + x14 + x15 + x16 + x17 + x18 <= 1
26 Var      setTo0      setTo1
27 x13[0..1] -6.2122e+07 -6.06545e+07
28 x14[0..1] -6.2122e+07 -6.0941e+07
29 x15[0..1] -6.2122e+07 -6.10044e+07
```

Figura 2.1: Esempio file di output.

2.2.1 MIPLIB2003

I problemi da cui sono state estratte le informazioni sono contenuti nella libreria MIPLIB2003. La libreria si configura come una collezione di 60 problemi MIP di natura varia ideali per avere un insieme eterogeneo d'istanze. La scelta di una libreria datata (i problemi della libreria sono stati formulati dal 1999 al 2003) è stata effettuata consapevolmente data la necessità di avere istanze già risolte (in gran parte) e per la presenza di problemi di piccola taglia utili per fare delle osservazioni dettagliate.

2.3 Software utilizzati

Per raccogliere le informazioni dalla libreria MIPLIB2003 è stato utilizzato CPLEX di IBM. Il software è stato dell'arte in questo ramo dell'informatica. Il programma che è stato implementato per la raccolta dati è stato scritto in C++ utilizzando le API del ramo Concert di CPLEX. Queste API, anche

se non molto intuitive, si sono dimostrate efficaci per l'implementazione del codice, permettendo all'utente di modificare ed esplorare facilmente il problema di partenza. Per le istanze più onerose computazionalmente è stata fondamentale la possibilità di iterare le variabili presenti nel vincolo di clique senza dover risolvere tutti i rilassamenti di tutte le variabili booleane (riducendo così il carico computazionale).

Per l'elaborazione dei dati sono stati utilizzati i runner appartenenti al Cluster del Dipartimento di Ingegneria dell'Informazione tramite il sistema di somministrazione dei job SLURM: processare un numero così elevato di rilassamenti lineari non risulta possibile con soluzioni economiche e questi strumenti messi a disposizione dal DEI sono stati fondamentali per la riuscita di questo progetto.

Per l'analisi dei dati è stato utilizzato il linguaggio di programmazione Python con il supporto delle librerie Numpy e Matplotlib.

Capitolo 3

Risultati

Di seguito alcune considerazioni sui dati ottenuti. Essendo questa un'analisi preliminare della strategia non sono stati raccolti i risultati a livello prestazionale ma semplicemente dei grafici e dei numeri utili a capire se questa strategia ha delle possibilità applicative. Le elaborazioni sui file sono state realizzate con l'utilizzo di Python 3 e le librerie Numpy (per la facilità delle manipolazioni sugli array) e Matplotlib (strumento indispensabile per realizzare grafici comprensibili e ben organizzati).

3.1 Considerazioni sui dati ottenuti

Data la grande quantità di dati ottenuti risulta necessario aggregare alcuni risultati. Il file di output di ogni problema contiene l'elenco di tutte le cliques del problema e il valore dei rilassamenti di tutte le variabili coinvolte nei vincoli di clique. Possiamo definire l'insieme *Cliques* come la raccolta di tutti i vincoli di clique. Un vincolo di clique J è definito dalle variabili binarie $x_i \in J$ che lo compongono e dalla disuguaglianza che lo distingue (≤ 1 oppure $= 1$). Definisco inoltre come *Binaries* l'insieme di tutte le variabili coinvolte in almeno un vincolo di clique. Il primo indicatore utilizzato per verificare il potenziale della SBCC è il seguente: per ogni vincolo di clique $J \in Cliques$ è stato calcolato un valore

$$s_j = \sqrt[n_j]{\prod_{i=1}^{n_j} (R(x_i = 1) - R_{\text{ref}})}$$

in cui $R(x_i)$ è il valore del rilassamento fissando a 1 la variabile x_i del vincolo, R_{ref} è il valore del rilassamento del problema iniziale e n_j è il numero di variabili comprese nel vincolo di clique. Nel caso il vincolo di clique sia di

minore uguale nella produttoria verrà inserito un ulteriore termine $(R(x_1 = 0, \dots, x_n = 0) - R_{\text{ref}})$ e la radice $n - \text{esima}$ diventerà $(n + 1) - \text{esima}$.

Per confronto a ogni variabile binaria $x_k \in \text{Binaries}$ coinvolta in almeno un vincolo di clique è stato assegnato uno score

$$b_k = \sqrt{(R(x_k = 0) - R_{\text{ref}}) * (R(x_k = 1) - R_{\text{ref}})}$$

per valutare la qualità della separazione che verrebbe ottenuta facendo Strong Branching.

Non si possono confrontare gli score senza la normalizzazione attuata tramite l'aggiunta della radice $n - \text{esima}$ nel primo indice e della radice *quadrata* nel secondo perchè lo score nel primo caso andrebbe a lievitare semplicemente per la quantità di termini in più rispetto all'indice di SB. Si può notare che nel caso uno dei valori nella produttoria sia 0 allora anche lo score sarà 0; per ovviare a ciò il valore 0 è stato sostituito con 0.01.

Per ogni problema è stato raccolto il migliore s_j e b_k ed è stato fatto il rapporto tra i due valori. Se il risultato è maggiore di uno allora almeno una clique del problema ha creato una separazione migliore del semplice SB sulle variabili binarie. Di seguito il grafico ottenuto [Figura 3.1]:

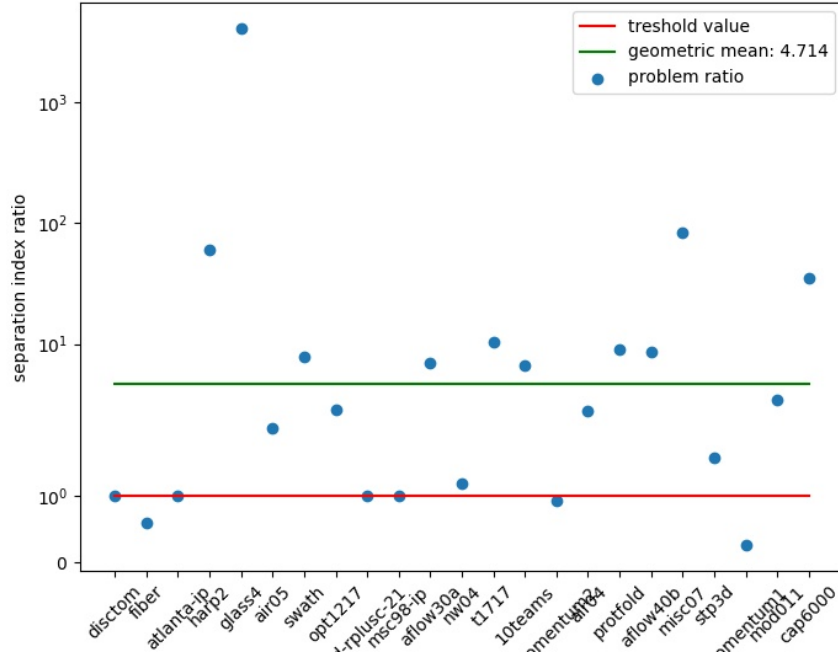


Figura 3.1: Ratio chart

Si può osservare che in molti dei problemi la separazione che va a crearsi è migliore della miglior separazione tramite Strong Branching delle variabili coinvolte nei vincoli. In particolare sui 23 problemi testati 20 problemi hanno un rapporto maggiore uguale a uno e solo 3 problemi hanno l'indicatore inferiore al valore soglia. I risultati ottenuti, come si può vedere, sono promettenti: il fatto che il valore della media geometrica sia diverse volte al di sopra del valore di soglia va a favore della tesi supportata.

Oltre alla singola separazione sono state fatte delle considerazioni quantitative sul numero di clique che danno un indice s migliore del migliore indice b per ciascun problema [Figura 3.2].

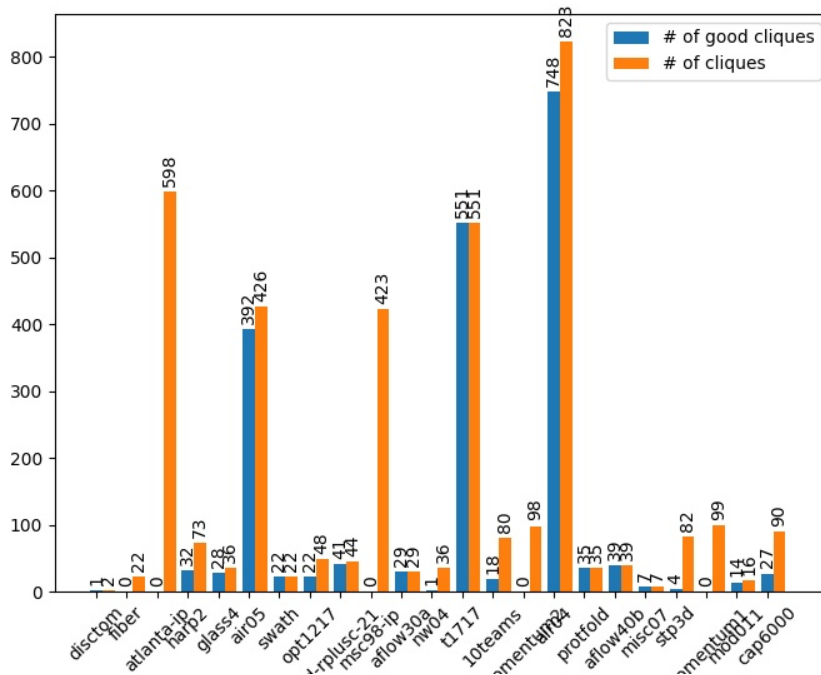


Figura 3.2: Cliques bar chart

Il grafico mostra la presenza di problemi in cui buona parte dei vincoli di clique hanno uno score maggiore del miglior score ottenuto tramite SB delle stesse variabili; questo rafforza il presentimento che una futura implementazione della strategia possa risultare in una buona scelta. Sono 12 i problemi sul campione esaminato in cui il 50% delle clique hanno portato a una separazione più forte rispetto allo SB.

3.2 Mod011.mps

A campione è stato analizzato il problema mod011.mps. La taglia dell'istanza considerata è relativamente piccola e non necessita un'eccessiva aggregazione di dati per essere analizzata. Dal file di output è stato estratto un grafico in cui ogni vincolo di clique del problema è stato messo in confronto con il miglior score SB fra tutti [Figura 3.3]. L'indice considerato è lo stesso della sezione precedente.

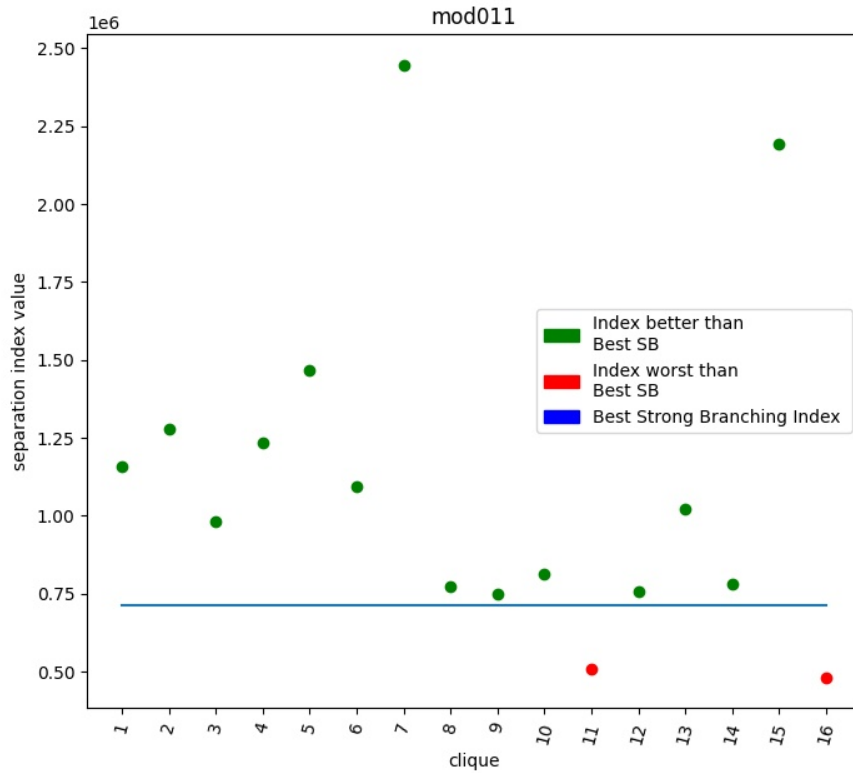


Figura 3.3: Mod011 chart

Si può notare che solo in 2 casi su 16 le separazioni si sono dimostrate più deboli rispetto allo score più alto ottenuto tramite Strong Branching.

Capitolo 4

Conclusioni

Nel capitolo precedente sono state raccolte diverse osservazioni e sono stati fatti alcuni esperimenti per analizzare le potenzialità della strategia.

Dai risultati ottenuti non si può che concludere che fare Strong Branching su Vincoli di Clique possa essere un'idea valida e che non sia da scartare una futura implementazione della strategia; i dati ci dicono che la migliore separazione fatta tramite SBCC è in media diverse volte più forte rispetto alla separazione migliore trovata tramite Strong Branching in più della metà dei problemi analizzati. Si osserva inoltre che 12 istanze su 23 hanno almeno il 50% dei vincoli di clique il cui score è superiore alla miglior separazione tramite SB. Nell'analisi dei file di output inoltre si è visto che in alcune situazioni fissare il valore a 1 nel vincolo portava a una soluzione impossibile: questa informazione permette per le proprietà del rilassamento lineare di fissare il valore della variabile considerata a 0 e quindi avere una variabile in meno da considerare nel problema di partenza.

Bibliografia/Sitografia

- [1] Lezioni di Ricerca Operativa, M. Fischetti, 2018;
- [2] Constraint Integer Programming, T. Achterberg, 2007;
- [3] Cplex User Manual:
[https : //www.ibm.com/support/knowledgecenter/SSSA5P12.7.1/ilog.odms.studio.help/pdf/](https://www.ibm.com/support/knowledgecenter/SSSA5P12.7.1/ilog.odms.studio.help/pdf/)
- [4] Numpy guide: *[https : //numpy.org/doc/stable/user/](https://numpy.org/doc/stable/user/)*
- [5] Matplotlib guide: *[https : //matplotlib.org/3.1.1/users/index.html](https://matplotlib.org/3.1.1/users/index.html)*